

САМООРГАНИЗАЦИЯ МАГНИТНОГО МОМЕНТА ПРИ ПУЛЬСАЦИОННЫХ КОЛЕБАНИЯХ, ДИНАМИЧЕСКОЙ КЛАСТЕРИЗАЦИИ ИЛИ ДРЕЙФЕ ДВУМЕРНЫХ РЕШЕТОК ДОМЕНОВ В ТОНКИХ ПЛЕНКАХ

Ф.В.Лисовский, Е.Г.Мансветова

Институт радиотехники и электроники РАН

141120 Фрязино, Московская обл., Россия

Поступила в редакцию 14 октября 1993 г.

Обнаружено явление самоорганизации распределения магнитного момента, обусловленное пульсационными колебаниями, динамической кластеризацией или дрейфом двумерных решеток цилиндрических магнитных доменов в пленках ферритов-гранатов. Наблюдалось формирование решеток из одиночных или спаренных кольцевых доменов (группы $R\bar{b}m\bar{m}$ и $Cmm2$), а также массивов из L - или S -образных доменов (группа $P2$) и из чередующихся рядов гантелеобразных доменов разного размера (группа $Pmm2$).

В [1-4] сообщалось об обнаружении и исследовании новых типов самоорганизации магнитного момента в пленках ферритов-гранатов с большой константой одноосной анизотропии β_u под действием монополярных импульсов поля подмагничивания с образованием решеток гантелеобразных или гантелеобразных и круглых цилиндрических магнитных доменов (ЦМД), симметрия которых в статических условиях соответствует пространственным группам $Pab2$ и $P\bar{b}$, а в динамическом режиме – группам $Cmm2$ и $R\bar{b}m\bar{m}$. Было высказано предположение [3], что изменение параметров внешнего воздействия, а также использование пленок с отличной от одноосной анизотропией могут приводить к формированию двумерных массивов доменов различной формы с самыми разнообразными типами симметрии. В настоящей работе приведены результаты экспериментов, подтверждающих данную гипотезу.

В первой серии экспериментов использовалась пленка феррита-граната состава $(Y\text{GdYbBi})_3(\text{FeAl})_5\text{O}_{12}$ толщиной $t \approx 20$ мкм на подложке из $\text{Gd}_3\text{Ga}_5\text{O}_{12}$ с ориентацией (111), имеющая период лабиринтной доменной структуры (ДС) $d = 58$ мкм, константу одноосной анизотропии $\beta_u \approx 20$, намагниченность $M \approx 7,7$ Гс и поле коллапса ЦМД $H_c = 39$ Э. Пленка подвергалась воздействию создаваемого плоской катушкой с внутренним диаметром 1 мм и направленного по нормали к поверхности пленки n монополярного импульсного магнитного поля с амплитудой $\dot{H} \approx 75$ Э. длительностью $\tau_p \approx 2$ мкс и периодом повторения $T_r \approx 1$ мс. Импульсы магнитного поля имели треугольную форму, то есть длительности фронта τ_f и среза τ_f составляли около 1 мкс.

При описанных выше условиях эксперимента из исходной лабиринтной ДС после воздействия около 100 импульсов магнитного поля формировалась структура, фотография которой приведена на рис. 1a¹⁾. Симметрия такой ДС описывается двумерной пространственной группой $Pmm2$; соответствующая ячейка Браве с мотивообразующими элементами приведена на рис. 2a слева. Каждый

¹⁾Полиграфическая обработка фотографий ДС выполнена на компьютере IBM PC-AT/386 с использованием программы Photo-Paint графического пакета CorelDRAW. Фотографии получены для "замороженных" ДС, то есть, при отключенном импульсном магнитном поле.

Каждый импульс магнитного поля переводит короткие домены в длинные и наоборот, так что в динамическом режиме при усреднении по многим импульсам наблюдается ДС с ячейкой Браве, изображенной на рис. 2а справа (пространственная группа Cmm2). При незначительной модификации формы импульса в той же самой пленке можно получить ДС, фотография которой приведена на рис. 1б (группа симметрии Ra_b2), а ячейки Браве для статического и динамического режимов – на рис. 2б (динамическому режиму соответствует группа Cmm2). Как и в [1-3], переориентация больших осей гантелеобразных доменов (под действием каждого импульса магнитного поля) происходит не путем поворота последних, а через ударное возбуждение пульсационной моды колебаний, то есть домены сначала испытывают сжатие, сохраняя исходную ориентацию осей симметрии до приобретения почти круговой формы, а затем расширяются вдоль новых осей симметрии. В отличие от самоорганизации, описанной в [1-3], когда переориентация больших осей доменов происходила на угол, равный $\pi/2$, в данном случае этот угол составлял около $\pi/6$.

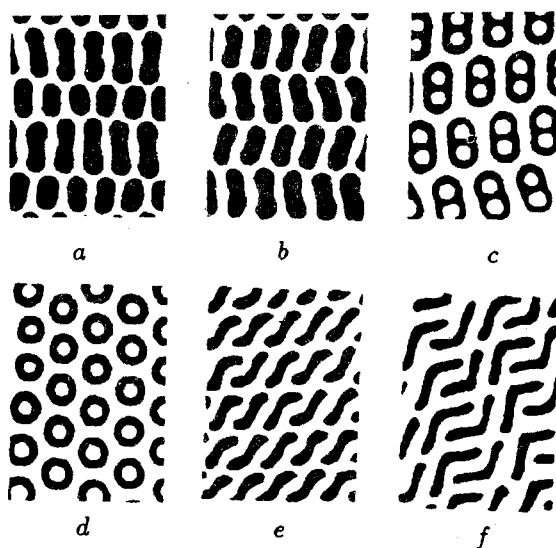


Рис.1. Фотографии доменных структур, возникающих в процессе самоорганизации

Вторая серия экспериментов проводилась на пленке состава $(\text{YBi})_3(\text{FeGa})_5\text{O}_{12}$ (ориентация (111), $t \approx 7 \text{ мкм}$, $d = 60 \text{ мкм}$, $\beta_u \approx 60$, $M \approx 6,7 \text{ Гс}$, $H_c = 14 \text{ э}$). Использовалось гармоническое магнитное поле с амплитудой $\tilde{H} > H_c$ и частотой $f \sim 10^4 \text{ Гц}$. В определенном интервале изменения амплитуды магнитного поля в пленке из исходной лабиринтной ДС формировалась монополярная гексагональная решетка круглых ЦМД с одинаковым направлением вектора М внутри всех ЦМД, то есть происходило спонтанное нарушение симметрии²⁾. При увеличении амплитуды \tilde{H} , однако, происходило восстановление нарушенного элемента симметрии путем хаотического зарождения и разрастания кластеров, представляющих собой участки гексагональной решетки ЦМД с антипараллельным (по отношению к исходной решетке) на-

²⁾ В исходной лабиринтной ДС оба возможных направления вектора намагниченности $M \uparrow\uparrow n$ и $M \downarrow\downarrow n$ эквивалентны.

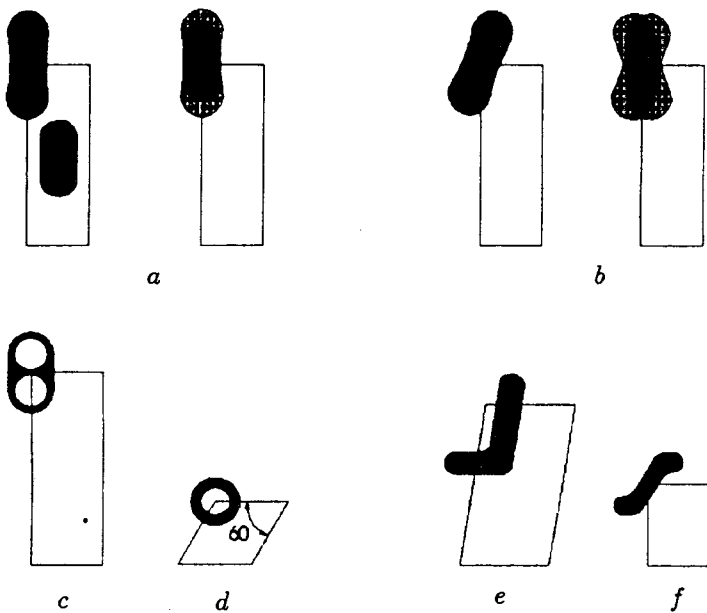


Рис.2. Решетки Браве с мотивообразующими элементами - прототипами для доменных структур рис.1

правлением вектора M внутри ЦМД³⁾. Число ЦМД в таких кластерах n_d в момент образования последних может быть довольно большим. Если в такой ситуации воздействовать на пленку слабым постоянным магнитным полем $H_0 \ll H_c$ и постепенно увеличивать его, то начинается быстрая диссоциация кластеров (в системе опять нарушаются симметрии) и n_d убывает. Одновременно происходит вытеснение фрагментов исходной решетки ЦМД. Тенденция к упорядочению кластеров начинает проявляться при $n_d \leq 6$, однако полная самоорганизация решетки кластеров, выражаясь в формировании упорядоченного массива спаренных кольцевых доменов (КМД), наблюдается при $n_d = 2$ (см. рис.1c). Симметрия ДС описывается группой Cmm2; ячейка Браве для нее приведена на рис.2c. При несколько большей напряженности поля подмагничивания H_0 кластеры с $n_d = 2$ диссоциируют и образуется гексагональная решетка КМД с симметрией R6mm (рис.1d и 2d)⁴⁾.

В третье группе экспериментов использовалась пленка состава $(\text{LuBi})_3(\text{FeGa})_5\text{O}_{12}$, выращенная на подложке из $\text{Gd}_3\text{Ga}_5\text{O}_{12}$ с ориентацией (210), что обеспечивало наличие сильной ромбической компоненты наведенной анизотропии ($\beta_p \sim \beta_u$, где β_p – константа ромбической анизотропии). Пленка имела следующие параметры: $t = 14$ мкм, $d = 14$ мкм, $\beta_u = 3,3$, $M = 7,3$ Гс, $H_c = 66$ Э. При воздействии на пленку монополярных прямоугольных импульсов магнитного поля с длительностью $\tau_p \sim 10$ мкс, периодом повторения $T_r = 10$ мс и амплитудой $\tilde{H} > 90$ Э происходило дробление исходной полосовой

³⁾Сходное явление при импульсном перемагничивании пленок, названное топологическим переключением полярности решетки ЦМД, было обнаружено и описано О'Деллом [5].

⁴⁾Заметим, что самоорганизация ДС во второй серии экспериментов наблюдалась только в том случае, если существовал небольшой зазор между пленкой и катушкой, создающей переменное магнитное поле, то есть переменное поле обладало радиальной компонентой.

ДС и возникал дрейф массива как целого. В процессе дрейфа происходила самоорганизация с образованием упорядоченных решеток *S*- или *L*-образных доменов (рис.1 e и 1 f), симметрия которых описывается группой Р2, а ячейки Браве имеют вид, показанный на рис.2 e и рис.2 f . Возникновение киральности у элементов массивов обусловлено действием гироскопических сил на концы доменов в процессе дрейфа [6]. Это подтверждается тем, что при смене знака импульсного магнитного поля направление закрутки изменялось.

Работа выполнена при финансовой поддержке Российского фонда фундаментальных исследований (код проекта 93-02-2018).

Авторы выражают признательность В.И.Миргородскому за помощь в проведении экспериментов и О.А.Бышевскому-Конопко и В.Н.Чеснокову за содействие в компьютерной обработке изображений ДС.

-
1. Ф.В.Лисовский, Е.Г.Мансветова, Письма в ЖЭТФ **55**, 34 (1992).
 2. Ф.В.Лисовский, Е.Г.Мансветова, А.В.Николаев, Е.П.Николаева, Препринт ИРЭ АН СССР № 1(569), 1992, М.
 3. Ф.В.Лисовский, Е.Г.Мансветова, Е.П.Николаева, А.В.Николаев, ЖЭТФ **103**, 213 (1993).
 4. Ф.В.Лисовский, Е.Г.Мансветова, Е.П.Николаева, Письма в ЖЭТФ **57**, 580 (1993).
 5. Т.Н.O'Dell, Phil. Mag. **27**, 595 (1973).
 6. А.Малоземов, Дж.Слонзуски. Доменные стенки в материалах с цилиндрическими магнитными доменами, пер. с англ., 1982, М.: Мир (A.P.Malozemoff, J.C.Slonczewski. Magnetic domain walls in bubble materials, 1979, New York, Academic Press).